

· 论 著 · doi:10.3969/j.issn.1671-8348.2015.27.001

IV 和 IV + V 型狼疮性肾炎患者血清 microRNA 标志物的芯片初筛*

张志恒^{1,2}, 肖红波², 王 琪², 王 艳², 熊祖应^{1,2△}

(安徽医科大学北京大学深圳医院:1. 临床学院;2. 肾内科, 广东深圳 518036)

[摘要] **目的** 应用微小核糖核酸(microRNA)芯片技术初步筛选 IV、IV + V 型狼疮性肾炎患者血清 microRNA, 探讨血清 microRNA 在狼疮性肾炎病理分型中的作用。**方法** 从北京大学深圳医院肾内科生物标本库中选取 IV、IV + V 型狼疮性肾炎血清各 4 例, 作为试验组; 同时选取 4 例健康人血清作为对照组, 使用 microRNA 芯片技术筛选差异表达的血清 microRNA。**结果** IV 型和 IV + V 型共有部分 microRNA, 其中 22 个有显著差异, IV 型特异性 microRNA 有 29 个, IV + V 型特异性 microRNA 有 3 个。**结论** 血清 microRNA 具有作为鉴别 IV、IV + V 型狼疮性肾炎生物标志物的潜能。

[关键词] 狼疮肾炎; 肾脏病理分型; 微 RNAs; microRNA 芯片**[中图分类号]** R692**[文献标识码]** A**[文章编号]** 1671-8348(2015)27-3745-03

The screen of serum microRNA in IV and IV + V lupus nephritis patients*

Zhang Zhiheng^{1,2}, Xiao Hongbo², Wang Qi², Wang Yan², Xiong Zuying^{1,2△}

(1, Clinical College; 2, Department of Nephrology, Peking University Shenzhen Hospital of Anhui Medical University, Shenzhen, Guangdong 518036, China)

[Abstract] **Objective** To preliminary screen serum microRNA which was related to class IV and class IV + V lupus nephritis (LN) by using microRNA array technology, and explore the role of serum microRNA in renal pathological classification of lupus nephritis. **Methods** Eight serum samples of lupus nephritis patients from biological specimen library in our hospital were enrolled. Experimental group was composed of 4 class IV cases and 4 class IV + V cases, control group was composed of 4 healthy persons. MicroRNA array was used to screen the differentially expressing microRNA. **Results** There were part of same miRNA in class IV and class IV + V LN, among which expression of 22 miRNA were significantly different, 29 miRNA of class IV was unique, 3 miRNA of class IV + V was unique. **Conclusion** Serum miRNA has a potential to serve as a biomarker to identify class IV and class IV + V lupus nephritis.

[Key words] lupus nephritis; renal pathology; microRNAs; microRNA array

狼疮性肾炎(lupus nephritis, LN)是临床上继发性肾病的常见病因。肾活检可以明确 LN 肾脏病理分型, 从而指导治疗和判断预后, 但肾活检是一项有创性操作, 具有一定风险, 不易重复检测。为此, 探寻可部分替代重复肾活检, 对鉴别 LN 病理类型有一定临床价值的生物标志物显得极为重要。

微小核糖核酸(microRNA, 简称 miRNA)是一类非编码、由 19~23 个核苷酸组成的小分子单链 RNA, 它们通过与靶目标 mRNA 的 3'-UTR 及 5'-UTR 区碱基互补配对, 进而调节 mRNA 降解或抑制 mRNA 翻译, 参与多种生理和病理过程^[1]。近年来研究表明, miRNA 可稳定存在于血清、血浆、尿液等体液中^[2-3], 且与许多病理、生理过程密切相关, 具有作为肿瘤、肾病综合征等多种疾病生物标志物的潜能^[4-7]。血清 miRNA 在 LN 及其肾脏病理分型中是否可作为生物标志物目前还不清楚。本课题采用 miRNA 芯片技术检测并比较 IV 型、IV + V 型 LN 及健康对照组 miRNA 差异性表达, 初步探讨血清 miRNA 在 LN 肾脏病理分型中作用。

1 材料与方法

1.1 一般资料 选取 2013 年 1 月至 2014 年 1 月在本医院肾内科经肾活检确诊为 IV 型和 IV + V 型 LN 患者各 4 例, 且近 3 个月内未经过免疫抑制剂及激素冲击治疗, 前者标记为 A1、A2、A3 和 A4, 后者标记为 B1、B2、B3 和 B4, 共 8 例作为试验组。研究对象纳入标准: 年龄大于或等于 18 周岁, 排除 LN 外的慢性疾病, 包括原发性高血压、糖尿病、其他结缔组织病等,

肾脏病理符合 2003 年国际肾脏病学会/肾脏病理学会(ISN/RPS)LN 分类标准^[8]。同时选取年龄、性别等匹配的健康人作为对照组, 分别标记为 C1、C2、C3 和 C4。本研究经医院伦理委员会审核同意, 所有患者均签订知情同意书。

1.2 血清采集 试验组用无肝素真空管采集患者血液, 室温下 2 500 r/min 离心 15 min 后收集血清。将血清储存在 -80 °C 冰箱至试验时取用。对照组血清采集方法相同。

1.3 miRNA 芯片扫描和数据分析 样品采用 miRNA 标记试剂盒 miRCURYTM Array Power Labeling Kit 标记样本 RNA, 与第 7 代 Exiqon miRCURY LNATM(V18.0 版本)杂交并洗涤。该芯片包括 3 100 个捕获探针覆盖 miRBase 数据库 18.0 版本人、小鼠和大鼠 3 个物种全部 miRNA, 同时覆盖与上述物种相关的所有病毒 miRNA。芯片杂交实验及后续结果分析在上海康成生物技术公司完成。对 IV 型、IV + V 型 LN 与对照组血清差异表达 miRNA 进行筛选, 经中位数法标准化后, 计算各 miRNA 差异倍数, 筛选上调和下调 miRNA。

1.4 统计学处理 选取芯片读数原始值大于或等于 100, 同时差异倍数大于或等于 3 或小于或等于 1/3 为显著差异, 其中前者为上调, 后者为下调, 采用 *t* 检验, 以 $P < 0.01$ 为差异有统计学意义。用 MEV4.9 版本软件对差异表达 miRNA 进行聚类分析。

2 结 果

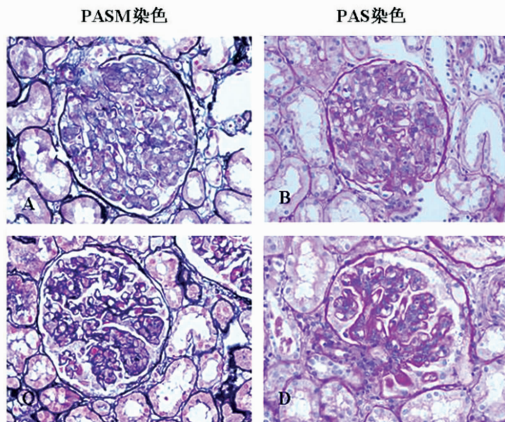
2.1 一般资料 本研究中 12 个样本临床资料结果见表 1。

表 1 所有入选对象临床资料

病例	LN 分型	性别	24 h 尿蛋白 (g)	血肌酐 ($\mu\text{mol/L}$)	白细胞 ($\times 10^9/\text{L}$)	血红蛋白 (g/L)	血小板 ($\times 10^9/\text{L}$)	补体 C3(g/L)	抗核 抗体	抗 ds-DNA 抗体 (IU/mL)
A1	IV	女	6.32	76.5	5.09	89	127	0.24	1:320	685.4
A2	IV	女	1.95	99.1	7.76	103	270	0.34	1:320	137.2
A3	IV	女	2.84	70.4	9.51	106	262	0.57	1:320	<100.0
A4	IV	女	1.53	96.6	5.32	108	278	0.22	1:100	642.0
B1	IV+V	女	2.24	75.7	3.17	81	51	0.17	1:1 000	1079.6
B2	IV+V	女	7.41	50.8	8.20	134	265	0.26	1:320	209.0
B3	IV+V	女	8.70	57.5	7.74	147	259	0.71	1:100	264.0
B4	IV+V	女	3.16	62.1	6.78	87	149	0.22	1:100	<100.0
C1	ND	女	ND	53.0	5.65	140	232	ND	ND	ND
C2	ND	女	ND	51.0	6.06	111	283	ND	ND	ND
C3	ND	女	ND	60.6	6.83	135	199	ND	ND	ND
C4	ND	女	ND	55.0	4.95	128	242	ND	ND	ND

注: A1、A2、A3、A4 分别代表 1 位 IV 型 LN 患者, B1、B2、B3、B4 分别代表 1 位 IV+V 型 LN 患者, C1、C2、C3、C4 代表对照组。ND: 未做相应分型或检测。

2.2 肾脏病理结果 经肾活检证实为 IV 型和 IV+V 型 LN 患者, 两组患者的肾脏病理见图 1。



A、B 分别代表 IV 型 LN 的 PASM 染色和 PAS 染色, C、D 分别代表 IV+V 型 LN 的 PASM 染色和 PAS 染色。PASM 染色提示 IV+V 型 LN 基底膜病变较 IV 型 LN 明显。PAS 染色提示两种类型 LN 肾组织都有增生性病变。

图 1 患者肾活检组织六胺银染色(PASM 染色)和过碘酸雪夫染色(PAS 染色)病理图片

2.3 miRNA 芯片检测结果如下 IV 型、IV+V 型两组有部分相同 miRNA 表达, 且表达差异符合筛选要求者 22 个, 其中上调 17 个, 下调 5 个, 见表 2、3; 两组不同病理类型 IV 型和 IV+V 型间特异性 miRNA 筛选比较发现, IV 型有 29 个, 其中上调 22 个, 下调 7 个, 见表 4、5; IV+V 型有 3 个, 均为下调, 见表 6。

表 2 IV 型和 V+IV 型 LN 共有部分 miRNA 及其表达上调情况

miRNA 名称	差异倍数	P	miRNA 名称	差异倍数	P
hsa-miR-943	3.02	0.000	hsa-miR-320d	3.56	0.011
hsa-miR-125b-5p	4.15	0.003	hsa-miR-4762-5p	7.73	0.006
hsa-miR-146b-5p	3.48	0.000	hsa-miR-146a-5p	3.20	0.009
hsa-miR-101-3p	3.48	0.004	hsa-miR-486-5p	3.03	0.000
hsa-miR-151a-3p	3.99	0.002	hsa-miR-132-5p	5.29	0.032
hsa-miR-518c-5p	4.42	0.079	hsa-miR-711	3.79	0.029
hsa-miR-3202	3.29	0.006	hsa-miR-4436b-5p	3.98	0.004

续表 2 IV 型和 V+IV 型 LN 共有部分 miRNA

及其表达上调情况

miRNA 名称	差异倍数	P	miRNA 名称	差异倍数	P
hsa-miR-125b-5p	3.18	0.003	hsa-miR-186-5p	4.80	2.004
hsa-miR-151a-3p	4.43	0.002	kshv-miR-K12-6-3p	3.34	0.074
hsa-miR-182-5p	3.53	0.004	hsa-miR-3132	3.23	0.003
hsa-miR-320e	3.27	0.000	hsa-miR-126-3p	3.64	0.024
hsa-miR-221-3p	3.04	0.006	hsa-miR-29a-3p	4.76	0.019
hsa-miR-192-5p	3.18	0.000	hsa-miR-4711-3p	3.33	0.001
hsa-miR-4505	3.04	0.048	hsa-miR-4441	4.05	0.011
hsa-miR-186-5p	3.71	1.849	hsa-miR-21-5p	4.56	0.001
hsa-miR-122-5p	4.14	0.005	hsa-miR-146a-5p	5.03	0.004
hsa-miR-29a-3p	3.17	0.033	hsa-miR-891a-5p	4.47	0.023
hsa-miR-21-5p	3.11	0.001	hsa-miR-4454	5.70	7.849

miR: miRNA。

表 3 IV 型和 V+IV 型 LN 共有部分 miRNA 及其表达下调情况

miRNA 名称	差异倍数	P
hsa-miR-139-5p	0.26	0.000
hsa-miR-548n	0.29	0.001
hsa-miR-1264	0.31	0.000
hsa-miR-297	0.18	2.282
hcmv-miR-US5-2-3p	0.27	0.001
hsa-miR-4704-5p	0.23	0.002
hsa-miR-4722-5p	0.29	0.030
hsa-miR-342-5p	0.32	2.109
hsa-miR-297	0.31	0.000
hsa-miR-4701-3p	0.31	0.000
hsa-miR-493-3p	0.32	0.000
hsa-miR-3064-5p	0.30	0.000

miR: miRNA。

2.4 聚类分析 将血清 miRNA 在 IV 型和 IV+V 型 LN 患者表达的聚类图进行双层聚类分析, 可直观观察到同一血清 miRNA 在不同样本中表达情况。见图 2。

表 4 IV 型 LN 患者特异性 miRNA 及其表达上调情况

miRNA 名称	差异倍数	P
hsa-miR-125b-5p	3.18	0.003
hsa-miR-151a-3p	4.43	0.002
hsa-miR-182-5p	3.53	0.004
hsa-miR-320e	3.27	0.000
hsa-miR-221-3p	3.04	0.006
hsa-miR-192-5p	3.18	0.000
hsa-miR-4505	3.04	0.049
hsa-miR-186-5p	3.71	1.849
hsa-miR-122-5p	4.14	0.005
hsa-miR-29a-3p	3.17	0.033
hsa-miR-21-5p	3.11	0.001
hsa-miR-320d	3.56	0.011
hsa-miR-4762-5p	7.73	0.006
hsa-miR-146a-5p	3.20	0.009

miR:miRNA。

表 5 IV 型 LN 患者特异性 miRNA 及其表达下调情况

miRNA 名称	差异倍数	P
hsa-miR-342-5p	0.32	2.109
hsa-miR-297	0.31	0.000
hsa-miR-4701-3p	0.31	0.000
hsa-miR-493-3p	0.32	0.000
hsa-miR-3064-5p	0.30	0.000

miR:miRNA。

表 6 IV + V 型 LN 患者特异性 miRNA 及其表达下调情况

miRNA 名称	差异倍数	P
hsa-miR-340-5p	0.29	0.000
hsa-miR-4716-5p	0.31	3.341
hsa-miR-1273f	0.33	0.000

miR:miRNA。

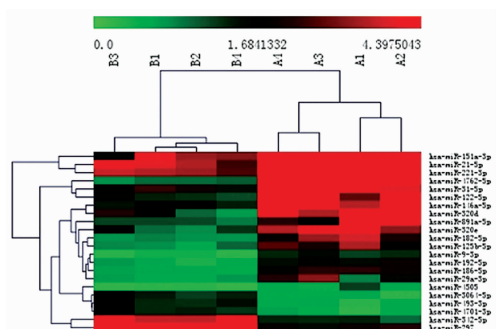


图 2 血清 miRNA 在 IV 型和 IV + V 型 LN 患者表达的聚类图

3 讨 论

miRNA 是一类非编码、内源性小单链 RNA 分子。1993 年 Lee 等^[9]首次在线虫体内发现第一个 miRNA(lin-4), 随后, 科学家们应用随机克隆、测序和生物信息学预测等多种手段, 发现 miRNA 在细胞分裂、凋亡、伤口愈合和免疫应答等多种生理和病理过程中发挥重要作用^[10-13]。同时因其在体液中具有高稳定性和疾病特异性, 相比传统蛋白质类生物标志物, 其

低复杂性、无后加工修饰、可合成高亲和“捕获”试剂、能进行“信号”扩增特性, 使其成为生物标志物研究热点^[14]。

体液 miRNA 作为生物标志物研究, 在肾脏病、系统性红斑狼疮和 LN 方面均有报道。研究发现血清 miR-106a、miR-17、miR-20a、miR-203、miR-92a 等具有作为诊断系统性红斑狼疮的潜能, miR-342-3p、miR-223、miR-20a 在活动性 LN 患者中表达下调, 与 LN 相关^[15]; 尿 miR-155 与 LN 患者蛋白尿程度和狼疮活动指数相关, miR-146a 与狼疮患者肾小球滤过率相关^[16]; 血浆 miR-126 在系统性红斑狼疮患者中表达上调, 在类风湿关节炎患者中无此现象, 提示其可作为狼疮患者诊断标志物。这些研究发现部分 miRNA 具有成为系统性红斑狼疮和 LN 生物标志物的潜力, 但未见 miRNA 与 LN 病理类型关系研究报道。

miRNA 芯片是大规模筛选组织、体液 miRNA 的有效检测手段, 具有高特异性、高灵敏度、样本用量少等特点, 目前已被广泛采用。本研究采用第 7 代 Exiqon miRCUY LNATM (V18.0 版本) miRNA 表达谱芯片, 相比普通 miRNA 芯片, 其特异性、灵敏度更高, 可更广泛筛选血清中 miRNA, 减少 miRNA 漏筛发生率。

本研究所选患者的临床与病理资料结果显示(表 1 和图 1), 试验组 A 组为 IV 型 LN, B 组为 IV + V 型 LN, 均为本院肾内科确诊 LN 患者; 对照组中 4 例入选者为健康志愿者。本研究发现, IV 型、IV + V 型 LN 患者血清中有部分相同 miRNA, 其中 22 个有显著差异, 并且最高差异率达 7 倍以上; IV 型特有 miRNA 29 个, IV + V 型 miRNA 特有 3 个(特指 IV 型与 IV + V 型之间比较)。推测以上 54 个 miRNA 可能有鉴别 IV 型及 IV + V 型 LN 的潜能, 并且差异 miRNA 数量较多, 差异性非常显著, 说明 LN 患者血清 miRNA 可能是很好的生物标志物。上述数据中, 两组之间差异最为明显者如 hsa-miR-4762-5p、hsa-miR-297, 利用 miRNA 靶基因在线预测软件 MIRDB 对上述靶基因进行预测, 发现包括 FAT1、JAG1、SSBP2 等在内的基因均可影响肾脏功能, 但目前未见其与 LN 相关的研究。实验结果中还有其他部分 miRNA, 文献报道也较少, 这些 miRNA 的作用尚不清楚, 值得探讨。另外这 54 个 miRNA 相对于对照组均有显著差异性, 这些 miRNA 是否参与系统性红斑狼疮或 LN 发病过程, 也需要进一步研究。

本研究中采用的芯片技术筛查只是初步研究, 且可能会有假阳性或假阴性结果。另有药物、狼疮并发症等可能也对实验结果造成影响, 因此需要采用实时荧光定量 PCR 技术或其他方法进行较大样本验证, 从而判断上述 miRNA 是否有助于鉴别 IV 和 IV + V 型 LN 患者病理分型, 或采用更大样本量判断多种类型 LN, 将是未来研究的方向之一。

参考文献

- [1] Moss EG, Poethig RS. MicroRNAs: something new under the sun[J]. *Curr Biol*, 2002, 12(20): R688-R690.
- [2] De Guire V, Robitaille R, Tétreault N, et al. Circulating miRNAs as sensitive and specific biomarkers for the diagnosis and monitoring of human diseases: promises and challenges[J]. *Clin Biochem*, 2013, 46(10/11): 846-860.
- [3] Mitchell PS, Parkin RK, Kroh EM, et al. Circulating microRNAs as stable blood-based markers for cancer detection[J]. *Proc Natl Acad Sci U S A*, 2008, 105(30): 10513-10518.

3 讨 论

黄芩作为辛芩方中的君药,黄芩苷的含量高达 9.000 0% 以上,且黄芩苷具有抗过敏作用^[9],因此检测该成分的含量对控制处方的质量具有重要意义。《中国药典》2010 版第 1 部关于辛芩颗粒中黄芩苷的含量检测采用等度洗脱的方法,但由于辛芩方成分复杂,导致该方法洗脱时间长。因此,本文采用梯度洗脱的方法建立黄芩苷的含量检测方法,旨在保证含量检测的同时,减少分析时间,降低检测成本^[12-13]。

细辛,具有祛风散寒、止痛、通窍等功效,可用于治疗鼻塞、鼻渊等。但细辛中含有微量的马兜铃酸,而马兜铃酸对肾脏的毒性已得到共识。在我国,自“龙胆泻肝丸”事件后,中国出台了《关于加强广防己等 6 种药材及其制剂监督管理的通知》,对含有马兜铃、寻骨风、天仙藤和朱砂莲的中药制剂必须凭医生处方方可调配^[14-15]。《中国药典》2010 版在细辛药材检测项下,规定细辛中马兜铃酸的含量应不得大 0.001 0%。而在香港,已停止审核、批准,并不再销售含马兜铃酸的中成药,可见含马兜铃酸的中药安全性应引起足够的重视。

因此,本文通过减掉辛芩方中潜在毒性药材细辛,降低中药辛芩方治疗变应性鼻炎的潜在不良反应。动物药效学实验表明辛芩全方及减方在鼻部症状的改善、血清中组胺的含量、鼻黏膜形态及嗜酸性粒细胞数量方面均无明显差异,在避免细辛中马兜铃酸带来的潜在毒副作用的同时,可达到该药对变应性鼻炎的治疗作用,为中药更加安全合理地应用于临床提供依据。

参考文献

- [1] 张宏誉译. 过敏反应及临床免疫学纲要[M]. 天津:天津科技翻译出版公司,2005:55.
- [2] Licari A, Ciprandi G, Marseglia A, et al. Current recommendations and emerging options for the treatment of allergic rhinitis [J]. *Expert Rev Clin Immunol*, 2014, 10 (10):1337-1347.
- [3] Hoyte FC, Meltzer EO, Ostrom NK, et al. Recommendations for the pharmacologic management of allergic rhini-

tis[J]. *Allergy Asthma Proc*, 2015, 35(Suppl 1):S20-S27.

- [4] Mandhane SN, Shah JH, Thennati R. Allergic rhinitis: an update on disease, present treatments and future prospects [J]. *Int Immunopharmacol*, 2011, 11 (11): 1646-1662.
- [5] 王丽英. 辛芩口服液治疗变应性鼻炎 70 例疗效观察[J]. *中国中医药科技*, 2013, 6:662.
- [6] 高峰, 吕志华. 辛芩冲剂治疗变应性鼻炎的研究[J]. *亚太传统医药*, 2012, 8(9):65-66.
- [7] 张蓉, 余彦, 杜俊蓉, 等. 辛芩片对豚鼠超敏反应的影响[J]. 2005, 30(10):785-788
- [8] 国家药典委员会. 中华人民共和国药典 [M]. 北京:化学工业出版社, 2005:777.
- [9] 刘新, 林於. 细辛中马兜铃酸的 HPLC 限量测定方法探讨[J]. *中成药*, 2008, 30(6):896-899.
- [10] 李仪奎. 中药药理学实验方法学[M]. 上海:上海科学技术出版社, 2006:923-926.
- [11] Won Jung H, Jung JK, Weon Cho C, et al. Antiallergic effect of KOB03, a polyherbal medicine, on mast cell-mediated allergic responses in ovalbumin-induced allergic rhinitis mouse and human mast cells[J]. *J Ethnopharmacol*, 2012, 142(3):684-693.
- [12] Sun J, Li L, Wu J, et al. Effects of baicalin on airway remodeling in asthmatic mice[J]. *Planta Med*, 2013, 79(3/4):199-206.
- [13] Yang J, Yang XE, Li M. Baicalin, a natural compound, promotes regulatory T cell differentiation[J]. *BMC Complement Altern Med*, 2012, 12(1):64.
- [14] 王晓丽, 金礼吉, 续繁星, 等. 中草药细辛研究进展[J]. *亚太传统医药*, 2013, 9(7):68-71.
- [15] 王德平, 毛晓春. 中药马兜铃酸的研究进展[J]. *北方药学*, 2014, 11(11):97-98.

(收稿日期:2015-02-25 修回日期:2015-05-24)

(上接第 3747 页)

- [4] Weber JA, Baxter DH, Zhang SL, et al. The MicroRNA spectrum in 12 body fluids[J]. *Clin Chem*, 2010, 56(11): 1733-1741.
- [5] Wang G, Kwan BC, Lai FM, et al. Urinary sediment miRNA levels in adult nephrotic syndrome[J]. *Clin Chim Acta*, 2013, 418:5-11.
- [6] Erener S, Mojibian M, Fox JK, et al. Circulating miR-375 as a biomarker of β -cell death and diabetes in mice[J]. *Endocrinology*, 2013, 154(2):603-608.
- [7] Lv LL, Cao YH, Ni HF, et al. MicroRNA-29c in urinary exosome/microvesicle as a biomarker of renal fibrosis[J]. *Am J Physiol Renal Physiol*, 2013, 305(8):F1220-F1227.
- [8] Weening JJ, D'agati VD, Schwartz MM, et al. The classification of glomerulonephritis in systemic lupus erythematosus revisited[J]. *Kidney Int*, 2004, 65(2):521-530.
- [9] Lee RC, Feinbaum RL, Ambros V. The *C. elegans* heterochronic gene *lin-4* encodes small RNAs with antisense complementarity to *lin-14*[J]. *Cell*, 1993, 75(5):843-854.
- [10] Pauley KM, Cha S, Chan EK. MicroRNA in autoimmunity and autoimmune diseases[J]. *J Autoimmun*, 2009, 32(3/

4):189-194.

- [11] Lu LF, Liston A. MicroRNA in the immune system, microRNA as an immune system[J]. *Immunology*, 2009, 127 (3):291-298.
- [12] Liang TJ, Qin CY. The emerging role of microRNAs in immune cell development and differentiation[J]. *APMIS*, 2009, 117(9):635-643.
- [13] Xiao X, Huang C, Zhao C, et al. Regulation of myofibroblast differentiation by miR-424 during epithelial-to-mesenchymal transition[J]. *Arch Biochem Biophys*, 2015, 566:49-57.
- [14] 孙士鹏, 李金明. 循环 microRNA 的研究现状与展望[J]. *分子诊断与治疗杂志*, 2010, 2(6):361-366.
- [15] Carlsen AL, Schetter AJ, Nielsen CT, et al. Circulating microRNA expression profiles associated with systemic lupus erythematosus[J]. *Arthritis Rheum*, 2013, 65(5): 1324-1334.
- [16] Wang G, Tam LS, Kwan BC, et al. Expression of miR-146a and miR-155 in the urinary sediment of systemic lupus erythematosus[J]. *Clin Rheumatol*, 2012, 31(3):435-440.

(收稿日期:2015-03-07 修回日期:2015-06-03)